

30X

На правах рукописи

Министерство высшего и среднего специального
образования СССР

ЧЕЛЯБИНСКИЙ ПОЛИТЕХНИЧЕСКИЙ ИНСТИТУТ
имени ЛЕНИНСКОГО КОМСОМОЛА

Хашковский
Александр Вацлавович

ИССЛЕДОВАНИЕ ВЛИЯНИЯ МУФТЫ С ДВУХПОВОДКОВЫМИ
ЦЕНТРОБЕЖНЫМИ СВЯЗЬМИ НА ДИНАМИКУ МАШИННОГО АГРЕГАТА
В НЕУСТАНОВИЗХИХ РЕЖИМАХ РАБОТЫ

Специальность 05.02.02.-"Машиноведение и детали машин"

АВТОРЕФЕРАТ
диссертации на соискание ученой степени
кандидата технических наук

Челябинск
1975

Работа выполнена в Челябинском политехническом институте имени Ленинского комсомола.

Научный руководитель - доктор технических наук,
профессор Г.Д. ЕСИН.

Официальные оппоненты:
доктор технических наук, профессор А.Г. БУРГВИЦ,
кандидат технических наук Л.Ф. ГРОСОВ.

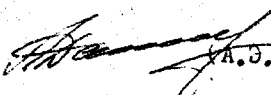
Ведущее предприятие - Челябинский тракторный завод
имени В.И. Ленина.

Автореферат разослан "_____" мая 1975 года.

Защита диссертации состоится 19 июня 1975 года, в 15 часов,
в аудитории 243 (конференц-зал) на заседании Совета по при-
суждению ученых степеней машиностроительных факультетов Челя-
бинского политехнического института имени Ленинского комсомола.

Ваш отзыв (в двух экземплярах, заверенных печатью) на
автореферат диссертации просим направлять по адресу: 454044,
г. Челябинск, проспект им. В.И. Ленина, 76.

С диссертацией можно ознакомиться в библиотеке
института.

Ученый секретарь Совета
кандидат технических наук, доцент 
(А.Э. ДАММЕР)



ОБЩАЯ ХАРАКТЕРИСТИКА РАБОТЫ

Актуальность темы. Развитие современной техники сопровождается ростом мощностей машинных агрегатов, а также числа выполняемых операций. Это приводит к интенсификации неустановившихся режимов и увеличению их доли в общем балансе времени работы машинных агрегатов.

При работе в неустановившихся режима крутильные системы машинных агрегатов подвергаются действию апериодических значительных по величине внешних сил, вызывающих упругие перемещения с частотой свободных колебаний (переходный процесс), и периодических возмущающих сил, амплитуды и частоты которых меняются в процессе работы. Это приводит к тому, что динамическая нагруженность элементов крутильной системы в переходном процессе зачастую в несколько раз превышает упругие статические моменты, а изменение параметров возмущающих сил приводит к появлению резонансных зон в диапазоне рабочих оборотов. В связи с этим создание высокопроизводительных машин, обеспечивающих надежную и качественную работу в любых эксплуатационных условиях, неизбежно связано с решением задачи снижения динамических нагрузок в переходных процессах и обеспечения следящей антирезонансной настройки по отношению к изменяющимся режимам работы.

Исследования, выполненные в настоящее время, показывают, что в значительной степени динамические нагрузки вращающихся систем определяются параметрами упругих соединительных муфт. Повышением их крутильной податливости стремиться увеличить энергоемкость и за счет этого добиться снижения динамических нагрузок в наиболее тяжелых режимах импульсного и ударного нагружений. Сочетание высокой податливости и демпфирования ограничивает амплитуду упругого динамического момента в первый полупериод колебаний и время переходного процесса. Применение муфт с нелинейной упругой характеристикой обеспечивает снижение амплитуды упругой деформации и соответственное уменьшение нагрузок.

Этим объясняется большое разнообразие конструкций упругих муфт, в которых зачастую сложными и дорогостоящими спо-

собами добиваются сочетания основных характеристик - нелинейной упругой характеристики высокой крутильной податливостью и значительными демпфирующими свойствами. Однако в существующих упругих соединительных устройствах возможности повышения крутильной податливости ограничиваются из-за несовершенства физико-механических свойств материалов упругих связей. Нелинейность упругой характеристики в рабочей зоне деформации, как правило, незначительна и увеличение ее связано с ограничением податливости и работоспособности. Для демпфирующих элементов характерным является нестабильность и небольшая величина коэффициента затухания.

Работа большинства машинных агрегатов в неустановившихся режимах характеризуется широким диапазоном изменения скоростного и нагружочного режимов работы, а вместе с этим и изменением параметров периодических возмущающих сил. В этих условиях для сохранения благоприятной динамической настройки крутильной системы машинного агрегата антивibrationные и демпфирующие свойства соединительной муфты должны изменяться в соответствии с изменением параметров возмущающих сил. Однако в соединительных устройствах с обычными упругими элементами (металлическими или резиновыми), характерным является инвариантность указанных свойств по отношению к режимам работы.

Исследования показывают, что в наибольшей степени предъявляемым требованиям удовлетворяют соединительные муфты с двухпроводковыми центробежными связями, удачно сочетающими нелинейные упругие и демпфирующие характеристики с широким диапазоном их направленного изменения в зависимости от режимов работы машинных агрегатов. Эти особенности предопределяют эффективное использование муфт с центробежными связями в качестве устройства для улучшения динамики переходного процесса и снижения общего уровня динамической нагруженности в условиях значительного изменения параметров периодических возмущающих сил.

Цель настоящей работы - аналитическое и экспериментальное исследование влияния соединительных муфт с двухповодковыми центробежными связями (ДЦС) на динамику машинного агрегата в неустановившихся режимах работы и разработка рекомендаций по выбору рациональных параметров проектируемых устройств с учетом условий эксплуатации в неустановившихся режимах.

Общая методика проведения исследования и следования. Для обобщенной кинематической схемы муфты с ДЦС проведено исследование динамики машинных агрегатов с использованием математического аппарата линейной и нелинейной теории колебаний, а также средств вычислительной техники (ЭВМ). Экспериментальные исследования проведены с применением современной измерительной аппаратуры отечественного производства на лабораторной стеновой установке с двигателем внутреннего сгорания и гидравлическим загрузочным устройством.

Научная новизна. Впервые рассмотрена обобщенная кинематическая схема муфты с ДЦС и проанализировано влияние соотношения геометрических размеров ДЦС и радиусов их закрепления на форму упругой характеристики. Разработана методика построения частотных диаграмм двух- и трехмассовых систем с ДЦС, определения момента трения в муфте и коэффициента передачи возмущающего момента в зависимости от скоростного и нагрузочного режимов работы, выбора рациональных параметров ДЦС, обеспечивающих благоприятную динамическую настройку в рабочем диапазоне изменения оборотов и нагрузок. Получены аналитические зависимости для выбора рациональных параметров упругих ограничителей и показана возможность значительного сужения опасных областей резонансных оборотов и мгновенного прохождения резонанса в момент выхода ДЦС на режим. Разработаны основы линеаризованной теории, позволяющей с достаточной для инженерной практики точностью оценить влияние муфты с ДЦС на динамику переходного процесса для различных типов возмущающих воздействий. Выполнен анализ динамики переходного процесса при разгоне и нагружении кру-

тильной системы машинного агрегата с учетом нелинейных свойств ДДС и характеристик приводного двигателя.

Практическая ценность. Предложены оригинальные конструкции муфт с несимметричными кинематическими схемами, в которых передача момента обратного знака осуществляется без применения контрсвязей, что значительно снижает сложность изготовления и вес. Разработаны конструкции упругих ограничителей (а.с. №427180), обеспечивающие необходимые упругие качества в момент запуска. Предложены конструкции ряда устройств (а.с. №462946, а.с. №416488), являющихся эффективным средством снижения динамических нагрузок элементов приводов. Результаты работы и предложенные методы расчета могут быть применены при конструировании новых машин.

Реализация работы в производственности. На основании проведенных исследований и предложенных оригинальных конструкций разработаны опытные образцы муфты с несимметричной кинематической схемой для привода перспективной тяжелой гусеничной машины. В настоящее время, опытный образец муфты с ДДС подвергается испытаниям на износостойчивость на моторном стенде ОГК Челябинского тракторного завода имени В.И.Ленина.

Публикация и апробация работы. Основное содержание работы отражено в семи публикациях и трех авторских свидетельствах. Материалы работы докладывались на:

1. Первой всесоюзной научно-технической конференции по инерционно-импульсным механизмам, приводам и устройствам. Челябинск, 1972.

2. Четвертой всесоюзной научно-технической конференции по вариаторам и передачам гибкой связью. Одесса, 1972.

3. Всесоюзной научно-технической конференции Трунзенского политехнического института. Фрунзе, 1974.

4. четвертой всесоюзной научно-технической конференции по компрессоростроению. Сумы, 1974.

5. Научно-технических конференциях Челябинского политехнического института, 1969-1974 гг.

О бъе м р а б о т ы. Диссертационная работа состоит из введения, четырех глав, выводов, библиографического списка, включающего 97 наименований, и содержит 180 страниц, из которых 44 занимают рисунки, графики, фотографии.

С О Д Е Р Ж А Н И Е Р А Б О Т Ы

В О В В Е Д Е Н И И показана актуальность проводимых исследований, определена цель работы, дана краткая аннотация всех разделов диссертации.

В П Е Р В О Й Г Л А В Е содержится анализ работ по исследованию динамики переходного процесса в упругих системах, выявляющих возможности снижения динамической нагруженности машин в переходном процессе за счет варьирования податливостью нелинейностью упругих характеристик и демпфирования. Выполнен анализ ряда конструкций упругих муфт, получивших наибольшее распространение в практике машиностроения, который показывает ограниченность этих качеств в существующих соединительных устройствах.

В Т О Р О Й Г Л А В А посвящена исследование основных характеристик муфт с ДЦС (фиг.1) при изменении режимов работы машинных агрегатов и параметров периодических возмущающих сил.

Движение машинного агрегата с ДЦС, представленного в виде двухмассовой динамической модели, описывается следующими нелинейными дифференциальными уравнениями:

$$\left. \begin{aligned} a_{11}\ddot{\varphi} + a_{12}\dot{\varphi} + \frac{\partial a_{11}}{\partial \omega} \dot{\omega} \dot{\varphi} + \frac{\partial a_{12}}{\partial \omega} \dot{\omega}^2 &= M_1 - M_2 ; \\ a_{22}\ddot{\omega} + a_{12}\dot{\varphi} + \frac{1}{2} \frac{\partial a_{22}}{\partial \omega} \dot{\omega}^2 - \frac{1}{2} \frac{\partial a_{12}}{\partial \omega} \dot{\varphi}^2 &= M_1 + M_2 , \end{aligned} \right\} \quad (1)$$

где

$$a_{11} = J_1 + J_2 + ZmR^2 ;$$

$$a_{12} = J_2 f_2(\omega) - J_1 f_1(\omega) ;$$

$$a_{22} = J_1 f_1^2(\omega) - J_2 f_2^2(\omega) + Zm R'^2;$$

$$R = \sqrt{z_1^2 + l_1^2 - 2z_1 l_1 (U V - \kappa_1 \kappa_2)};$$

$$f_1(\omega) = \frac{2R'(R^2 - z_1^2 + l_1^2)}{R\sqrt{4R^2 z_1^2 - (R^2 + z_1^2 - l_1^2)^2}}; \quad f_2(\omega) = \frac{2R'(R^2 - z_2^2 + l_2^2)}{R\sqrt{4R^2 z_2^2 - (R^2 + z_2^2 - l_2^2)^2}};$$

$$U = \frac{P^2 + l_1^2 - l_2^2}{2Pl_2}; \quad V = \frac{P^2 + z_2^2 - z_1^2}{2Pz_2};$$

$$\kappa_1 = \sqrt{1 - U^2}; \quad \kappa_2 = \sqrt{1 - V^2};$$

$$P = \sqrt{z_1^2 + z_2^2 - 2z_1 z_2 \cos 2\alpha};$$

Zm - приведенная масса связей;
штрих - означает дифференцирование по α .

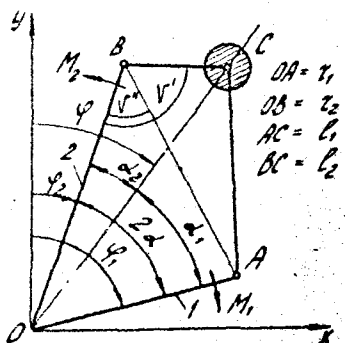
Для режима стационарного вращения из системы уравнений (1) получено выражение для определения упругой характеристики

$$M_i = M_i^0(z_i, l_i, \omega) \cdot Zm \omega^2, \quad i = 1, 2, \quad (2)$$

где

$M_i^0(z_i, l_i, \omega)$ - удельная (на единицу $Zm \omega^2$) упругая характеристика муфты с ДС.

Анализ влияния геометрических размеров тяг (l_1 и l_2) цС



и радиусов их закрепления на полумуфтах показал, что при определенных соотношениях этих параметров можно получить реверсивный участок характеристики в области положительных углов деформации муфты. Следовательно передача момента обратного знака возможна без применения контргвязей, что расширяет возможности использования подобных устройств при работе в условиях реверса, характерного для неустановившихся режимов работы ряда машин. Возможные варианты соотношения геометрических размеров звеньев муфты и форм уп-

Рис. 1. Схема муфты с ДС

ругих характеристик представлены на рисунке (табл).

При работе в неустановившихся режимах в муфте с ДЦС возникает дополнительный упругий момент, пропорциональный квадрату скорости деформации $\dot{\omega}$ муфты

$$M_{\dot{\omega}} = 0.25 \frac{\partial M}{\partial \dot{\omega}} \dot{\omega}^2, \quad (3)$$

что приводит к увеличению крутизны упругой характеристики, а следовательно и энергоемкости муфты. Если энергоемкость муфты с ДЦС, вычисленная для режима стационарного вращения, на порядок выше энергоемкости существующих соединительных устройств с резиновыми и металлическими упругими элементами, то в процессе деформации связей (в динамике) она дополнительно возрастает пропорционально квадрату скорости деформации (на 14-18%).

Упругие свойства муфты с ДЦС проявляются только при вращении. При запуске или работе на малых оборотах в передаче момента участвуют упругие ограничители, предотвращающие вытягивание поводков ЦС в прямую линию. Характеристика муфты и ее жесткость при работе на упругих ограничителях оказываются пропорциональными жесткости упругого элемента ограничителя, нелинейно зависящими от угла деформации муфты. Для выбора рациональных параметров упругого ограничителя и его прочностного расчета приводятся аналитические зависимости.

Важнейшим параметром, определяющим отстройку крутильной системы от резонанса с гармоническими составляющими возмущающего момента, является частота свободных колебаний системы. В работе анализируется изменение частоты свободных колебаний в двух- и трехмассовых системах с ДЦС в зависимости от угловой скорости вращения муфты и величины передаваемого момента. Условием сохранения следящей частотной настройки по оборотам в двухмассовой системе является

$$\kappa(\omega) = \text{const}, \quad (4)$$

где

$$\kappa(\omega) = \sqrt{\frac{a_0^2 + b_0(\mathcal{J}_1 \mathcal{J}_2 + z m R^2)}{\mathcal{J}_1 \mathcal{J}_{22} - \mathcal{J}_{12}^2}} - \text{частотный коэффициент, учитывающий влияние гироскопического } (a_0) \text{ квазиупругого } (b_0) \text{ и инерционных } \mathcal{J}_1, \mathcal{J}_{22}, \mathcal{J}_{12} \text{ коэффициентов.}$$

Таблица

Кинематические схемы муфты с ДЦС

Вариант	Кинематическая схема муфты	Положение звеньев муфты при $M=0$	Форма динамической характеристики
1			
2			
3			
4		<p>a) $l_1 - l_2 \neq z_1 - z_2$ </p> <p>b) $l_1 - l_2 = z_1 - z_2$ </p>	
5		<p>a) $l_1 - l_2 \neq z_1 - z_2$ </p> <p>b) $l_1 - l_2 = z_1 - z_2$ </p>	

Для данной конструкции муфты частотный коэффициент зависит только от угла деформации и остается постоянным в диапазоне изменения углов деформации (5)

$$0 < \alpha < \alpha_c .$$

Минимальная угловая скорость, при которой обеспечивается следящая частотная настройка, равна:

$$\omega_{c\min} = \sqrt{\frac{M_0}{0.5 Z m (R R')_{\alpha=\alpha_c}}} , \quad (6)$$

где

M_0 - величина передаваемого момента.

При наличии в системе полигармонического источника возмущающих моментов (двигателя ДС) значение $\omega_{c\min}$ должно выбираться из условия (фиг.2)

$$\omega_{c\min} \leq \omega_M , \quad (7)$$

где

ω_M - угловая скорость вала двигателя, соответствующая максимальному моменту.

Наряду с выполнением условия (7) для обеспечения безрезонансной работы необходимо также выполнение следующего неравенства

$$\varphi_{c\min} \neq \sqrt{v} \omega_{c\min} , \quad (8)$$

где

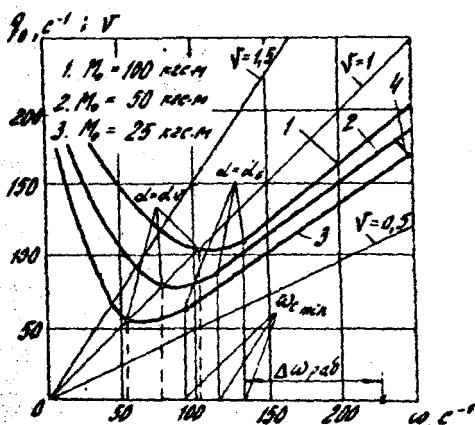
v - порядок гармоники;

$\varphi_{c\min}$ - частота свободных колебаний системы с ДС, соответствующая углу α_c и $\omega_{c\min}$ при передаче момента M_0 и равная

$$\varphi_{c\min} = K(\alpha_c) \omega_{c\min} . \quad (9)$$

При заданном изменении величины передаваемого

момента и соответственного изменения угла деформации муфты область значений собственных частот системы с ДС должна рас-



Фиг.2. Частотная диаграмма двухмассовой системы с ДС

положаться между двумя соседними лучами гармоник, т.е.

- для двухтактных двигателей

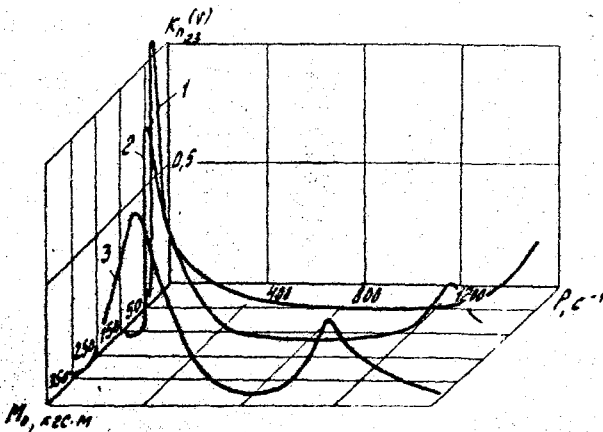
$$(V-1) < \kappa(\omega) < V, \quad (V = 1, 2, 3, \dots n); \quad (10)$$

- для четырехтактных двигателей

$$(V-0,5) < \kappa(\omega) < V, \quad (V = 0,5; 1; 1,5; \dots n). \quad (11)$$

Если выполнение условия (7) обеспечивает смещение резонансных режимов в зону нерабочих оборотов, то выполнение условий (10) и (11) предполагает отсутствие резонансов с гармониками, ограничивающими область значений собственных частот в диапазоне рабочих оборотов и нагрузок.

Анализ частотных диаграмм трехмассовых систем с ДДС показывает, что зависимость частоты двухузловой формы колебаний от скоростного режима работы имеет нелинейный характер, а ее величина колеблется в широких пределах. В определенном диапазоне изменения оборотов имеются участки следящей частотной настройки. С учетом величины передаваемого момента, собственные частоты двухузловой формы колебаний образуют область значений.



Фиг.3. Зависимость $K_{n23}^{(1)} = f(\omega_r, M_0)$ при $\omega_r = 109 \text{ c}^{-1}$:

1- $M_0 = 50 \text{ кгс}\cdot\text{м}; 2- M_0 = 170 \text{ кгс}\cdot\text{м}; 3- M_0 = 50 \text{ кгс}\cdot\text{м}$

Известно, что гармонические составляющие упругих моментов в трансмиссиях при вынужденных колебаниях определяются как

произведение коэффициента передачи на гармонические составляющие вращающего момента:

$$M_{ij} = \sum_{r=1}^{\infty} K_{rij}^{(v)} \cdot M_r \cdot \sin(\rho t + \delta_r), \quad (12)$$

где

$K_{rij}^{(v)}$ - коэффициент передачи возмущающего момента двигателя для ij -го участка трансмиссии, соответствующий v -ой гармонике;

$$\rho = v \cdot \omega.$$

На примере трехмассовой системы с ДЦС рассмотрено изменение $K_{n_{23}}^{(v)}$, при установке муфты после двигателя. Установлено, что увеличение числа оборотов системы или величины передаваемого момента приводит к изменению $K_{n_{23}}^{(v)}$ при передаче амплитуды v -го возмущающего момента (фиг.3). Значения $K_{n_{23}}^{(v)}$ в области резонанса двухузловой формы всегда в несколько раз ниже соответствующих значений в области низкочастотного резонанса. Расчеты показывают, что во всем рабочем диапазоне изменения оборотов и нагрузок обеспечивается значение коэффициента передачи для главных гармоник возмущающего момента двигателя, не превосходящее $K_{n_{23}}^{(v)} = 0,3$.

В муфте с ДЦС возникает момент трения M_{ro} , равный

$$M_{ro} = K_r(z_i, l_i, z_0, z_0', z_m, \mu, \alpha) \omega^2, \quad (i=1,2), \quad (13)$$

где

$$K_r(z_i, l_i, z_0, z_0', z_m, \mu, \alpha) = \frac{\mu R z_m}{2 \rho f_1 - \rho^2 f_2^2} \left[z_0' z_0 \frac{\sqrt{4R^2 \rho^2 - (R^2 + l^2 - z_0^2)^2}}{R \rho \sqrt{1 - \rho^2/4C^2}} \sin 2\omega t - \right.$$

$$\left. - z_0 R' \left(\sqrt{\frac{4R^2 \rho^2 - (R^2 + l^2 - z_0^2)^2}{4C^2 z_0^2 - (l^2 + z_0^2 - R^2)^2}} + \sqrt{\frac{4R^2 \rho^2 - (R^2 + l^2 - z_0^2)^2}{4C^2 z_0'^2 - (l^2 + z_0'^2 - R^2)^2}} \right) \right];$$

z_0, z_0' - радиусы пальцев в центральном и концевых шарнирах;

μ - коэффициент трения на цилиндрических поверхностях шарниров.

Момент трения в муфте с ДЦС оказывается пропорциональным квадрату угловой скорости вращения силовой установки, а его величина определяется коэффициентом κ_r , являющимся функцией геометрических ($\gamma_1; \ell_1; \gamma_2, \gamma_3$) и динамических (ε_m) параметров муфты. Для данной конструкции муфты этот коэффициент зависит только от угла деформации, который при данных оборотах характеризует загруженность системы. Возможность обеспечения следящей демпфирующей настройки по отношению к изменяющейся амплитуде возмущающей гармоники, иллюстрируется расчетами для конкретных значений параметров системы и муфты.

В ТРЕТЬЕЙ ГЛАВЕ исследуется динамика переходного процесса в крутильной системе машинного агрегата с двухповоротковыми центробежными связями.

Анализ влияния муфты с ДЦС на динамику переходного процесса разгона выполнен для режима трогания с места машинно-тракторного агрегата с механической трансмиссией и поршневым двигателем, отражающим критические условия разгона. Динамическая модель машинного агрегата представлялась в виде трех масс с муфтой, установленной до главного фрикциона и после него. Решение исходной системы нелинейных дифференциальных уравнений выполнялось на ЭЦВМ "Минск-22" с автоматическим выбором шага. При расчетах принималось, что момент двигателя изменяется в соответствии со статическими регуляторной и внешними характеристиками, а момент главного фрикциона задавался функцией времени в соответствии с диаграммой включения. Анализ расчетных данных и графиков показал, что для снижения динамических нагрузок и ограничения числа циклов колебаний в переходном процессе целесообразна установка муфты с ДЦС до главного фрикциона. В этом случае упругий момент в муфте изменяется по закону, близкому к статическому. Коэффициент динаминости не превышает значения 1,18, а период его колебаний составляет величину порядка 0,1 с. Оценка нагруженности производилась с помощью следующего критерия переходного процесса

$$\kappa = \frac{M_{\text{дин}}^{\text{max}} - M_{\text{дин}}^{\text{min}}}{M_{\text{ср}}} \cdot \frac{N}{T}, \quad (14)$$

где

- $M_{\text{дин}}^{\text{max}}, M_{\text{дин}}^{\text{min}}$ - максимальный и минимальный динамические моменты;
- $M_{\text{ст}}$ - упругий статический момент;
- N - число циклов колебаний за период трогания;
- T - период трогания (пробуксовки фрикциона). Для рекомендуемого варианта установки муфты $\kappa=1,07$.

Муфта с ДДС является высокоподатливым соединением, обеспечивающим смещение резонансных режимов в зону пусковых оборотов. В работе исследовалось прохождение двухмассовой системы с ДДС через резонанс при запуске с учетом влияния жесткости упругих элементов ограничителей. Частоты свободных колебаний системы с ДДС в зоне пусковых оборотов уменьшаются при одновременном увеличении возмущающих частот, что способствует ускорению прохождения зон резонансных оборотов и является предпосылкой для значительного снижения динамических нагрузок при запуске. При выполнении условия $\dot{\varphi} \sqrt{\nu} < (g)_d = 2\omega$ ($\dot{\varphi}$ - скорость выхода центробежных связей на режим), прохождение резонанса с гармоникой $\sqrt{\nu}$ -го порядка будет происходить мгновенно в момент скачкообразного уменьшения частоты свободных колебаний. Расчет вынужденных колебаний при разгоне нелинейной двухмассовой системы с ДДС и резонансе со второй моторной гармоникой показал эффективность мгновенного прохождения резонанса. Амплитуда колебаний угла деформации муфты в зоне резонансных оборотов не увеличивалась.

Для учета влияния нелинейных характеристик упругого ограничителя ДДС на частоту свободных колебаний в режиме разгона предложен метод построения скелетных кривых, устанавливающих связь между амплитудой и частотой свободных колебаний нелинейной системы. Колебательный характер процесса приводит к росту частоты свободных колебаний и увеличению крутизны кривой изменения этой частоты при запуске, а следовательно ускорению прохождения резонансов.

В условиях несоосности запуск машинного агрегата сопровождается неравномерной деформацией упругого элемента ограничителя, в пределах одного оборота, а в некоторых положениях он оказывается разгруженным. При этом на ведущий и ведомый диски будут действовать периодические моменты с амплитудой пропорциональной величине несоосности и частотой равной угловой скорости вращения муфты. С целью полной компенса-

ции или снижения возникающих периодических нагрузок предлагаются увеличение числа упругих ограничителей.

При исследовании динамики переходного процесса нагружения систем с ДЦС рассмотрена линейная двухмассовая динамическая модель машинного агрегата и с использованием преобразования Лапласа получены в общем виде выражения для амплитуд $\Phi_1(P)$, $\Phi_2(P)$ колебаний ведущего и ведомого дисков муфты в пространстве изображений:

$$\left. \begin{aligned} \Phi_1(P) &= \frac{(\mathcal{J}_{12} K_1 - \mathcal{J}_{12} K_2) P^2 + \{\mathcal{J}_{22} [L(M_1) + C_1] + \mathcal{J}_{12} [L(M_2) - C_2] - \alpha K_2\} P^2}{\Delta(P)} \\ &\cdot \left\{ \{(K_1 + K_2) \delta + [L(M_2) - C_2] a\} P + [C_1 + C_2 + L(M_1) - L(M_2)] \delta \right\}; \\ \Phi_2(P) &= \frac{(\mathcal{J}_{11} K_2 - \mathcal{J}_{12} K_1) P^2 + \{\mathcal{J}_{11} [C_2 - L(M_2)] - \mathcal{J}_{12} [C_1 + L(M_1)] + \alpha K_1\} P^2}{\Delta(P)} \\ &\cdot \left\{ \{(K_1 + K_2) \delta + [L(M_1) + C_1] a\} P + [C_1 + C_2 + L(M_1) - L(M_2)] \delta \right\}, \end{aligned} \right\} \quad (15)$$

где

φ_1, φ_2 — амплитуды угловых перемещений дисков муфты;

$$\Delta(P) = P^2 (\mathcal{J}_1 \mathcal{J}_{22} - \mathcal{J}_{12}^2) / (P^2 + \varphi^2);$$

$$K_1 = \mathcal{J}_{12} \varphi_2(0) + \mathcal{J}_{11} \varphi_1(0);$$

$$K_2 = \mathcal{J}_{12} \varphi_1(0) + \mathcal{J}_{22} \varphi_2(0);$$

$$C_1 = \mathcal{J}_{12} \dot{\varphi}_2(0) + \alpha \dot{\varphi}_2(0) + \mathcal{J}_{11} \dot{\varphi}_1(0);$$

$$C_2 = \mathcal{J}_{22} \dot{\varphi}_2(0) - \alpha \dot{\varphi}_2(0) + \mathcal{J}_{12} \dot{\varphi}_1(0);$$

$L(M_1), L(M_2)$ — изображения возмущающих функций.

В качестве примера выполнен расчет переходного процесса нагружения моментом пропорциональным времени, возрастающим в 2,08 и 1,70 раза по сравнению с исходным. Коэффициен-

ты динамичности составили соответственно 1,66 и 1,2.

Исследование динамики переходного процесса в нелинейной двухмассовой системе с ДДС при кратковременных импульсных нагрузках проводилось с помощью графо-аналитического δ -метода, связанного с построением фазовых траекторий. Высокие защитные свойства муфты с ДДС подтверждаются расчетами ряда вариантов импульсного нагружения системы. Например, при нагружении системы импульсом, достигающим 100 кгс·м за время $t = 0,05$ с, максимальный упругий момент в муфте составил 40 кгс·м, т.е. муфта в 2,5 раза снизила величину максимального момента импульса.

В заключении третьей главы выполнен анализ динамики переходного процесса нагружения машинного агрегата с учетом нелинейных свойств муфты с ДДС и характеристик приводного двигателя. Динамическая модель машинного агрегата представлялась трехмассовой, позволяющей выделить три основных элемента машинного агрегата (двигатель, трансмиссию, рабочее орудие), а место установки муфты представить точно соответствующим его реальному месту в агрегате.

Исходная система нелинейных дифференциальных уравнений имеет вид:

$$\left. \begin{aligned} \ddot{\varphi}_1 &= \frac{1}{J_1} [M_1(\dot{\varphi}_1, t) - J_2 \ddot{\varphi}_2 - 0,5\delta_1 \dot{\varphi}_1^2 + \delta_1 \dot{\varphi}_1 \dot{\varphi}_2 + (\beta_2 + 0,5\delta_1) \dot{\varphi}_1^2 - M_m \operatorname{sign} \dot{\alpha}], \\ \ddot{\varphi}_2 &= \frac{1}{J_2} [-J_2 \ddot{\varphi}_1 + 0,5\delta_2 \dot{\varphi}_2^2 - \delta_2 \dot{\varphi}_1 \dot{\varphi}_2 - (\beta_2 + 0,5\delta_1) \dot{\varphi}_1^2 + M_m \operatorname{sign} \dot{\alpha}]; \\ \ddot{\varphi}_3 &= \frac{1}{J_3} [C_{23}(\varphi_2 - \varphi_3) - M_2(t)], \end{aligned} \right\} \quad (16)$$

где

$\varphi_1, \varphi_2, \varphi_3$ — углы поворота масс системы;

$$\delta_1 = \frac{Zm}{4}(RR' + R'R''); \quad \delta_2 = \frac{Zm}{4}(RR'' - R'R');$$

$M_1(\dot{\varphi}_1, t), M_2(t)$ — момент двигателя и нагрузки;

C_{23} — жесткость вала.

Расчет системы (16) уравнений на ЭЦВМ "Минск-22" показал, что как при ускорении, так и при замедлении вала двигателя в процессе наброса нагрузки характер изменения упругих моментов аналогичен. Колебательные явления в процессе нагружения исходной системы ограничиваются периодом нарастания момента внешнего сопротивления даже при значительной его величине (с $M_2 = 36,5$ кгс·м до $M_2 = 86,5$ кгс·м), а коэффициент динамичности не превышает значения 1,42.

ЧЕТВЕРТАЯ ГЛАВА посвящена экспериментальному исследованию динамики машинного агрегата, снабженного муфтой с ДЦС, в неустановившихся режимах работы.

Программа экспериментальных исследований предусматривала:

- измерение упругих характеристик муфты с несимметричными кинематическими схемами и сравнение их энергоемкости в режимах стационарного вращения и в динамике;
- оценка виброизолирующих свойств муфты с ДЦС и эффективности отстройки от резонанса крутильной системы в широком диапазоне изменения оборотов и нагрузок;
- исследование влияния муфты с ДЦС на динамику переходного процесса разгона, импульсного нагружения и наброса нагрузки.

При создании стендовой установки и разработке комплекса измерительной аппаратуры учитывались требования, предъявляемые к методике и аппаратуре для исследования неустановившихся режимов.

Стендовая установка включала двигатель внутреннего сгорания и гидравлическое загрузочное устройство, что позволило в максимальной степени воспроизвести реальные условия работы муфты с ДЦС в неустановившихся режимах.

Электрическая часть стенда обеспечила измерение и регистрацию исследуемых величин с достаточной достоверностью в условиях их непрерывного изменения с большими скоростями и ускорениями, а также многократное воспроизведение исследуемых режимов. Для этого использовались струнные токосъемники трения, тензометры, потенциометрические датчики амплитуд колебаний, индуктивные датчики и др. Усиление сигналов и за-

пись параметров осуществлялось с помощью тензостанции ТА-5 и осциллографа Н-115. Воспроизведение характера открытия дроссельной заслонки и штока дросселя загрузочного устройства осуществлялось с помощью специальных устройств, входящих в состав системы управления.

Экспериментальные исследования проводились для трех разновидностей центробежных связей, позволивших получить шесть вариантов муфты с различными геометрическими и весовыми параметрами.

В процессе проведения экспериментальных исследований производилось измерение вращающего момента (M_{23}) на участке тензометра, угловой скорости (ω) вала двигателя и угла деформации $\Delta\alpha$ муфты.

Анализ экспериментальных исследований динамики крутильной системы с ДЦС лабораторного стенда в разнообразных скоростных и нагрузочных режимах работы двигателя показал:

- муфта с несимметричной кинематической схемой обеспечивает передачу момента обратного знака в области положительных углов деформации;

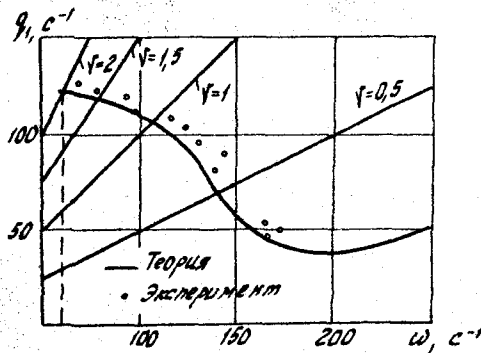
- область значений частот одноузловой формы колебаний в диапазоне рабочих оборотов и нагрузок ограничивается лучем гармоники 1-го порядка (фиг.4), что обеспечивает отстройку системы от резонанса с "сильной" второй моторной гармоникой двигателя;

- с уменьшением величины передаваемого момента значения частот свободных колебаний для соответствующих оборотов уменьшаются, а начало участка следящей настройки по оборотам сдвигается в зону пониженных оборотов;

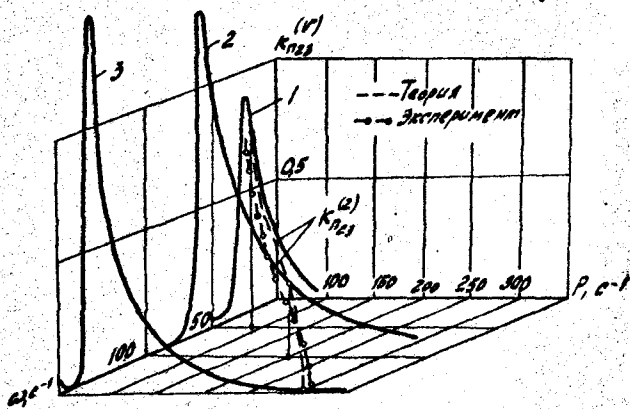
- коэффициент передачи момента для основной возмущающей гармоники ($\gamma=2$) изменяется при работе на внешней характеристике в диапазоне $K_{n_2}^{(2)}=0,05 \pm 0,2$, увеличивая свое значение при уменьшении частоты вращения вала двигателя (фиг.5).

Экспериментальные исследования динамики переходного процесса в стендовой установке показали (фиг.6):

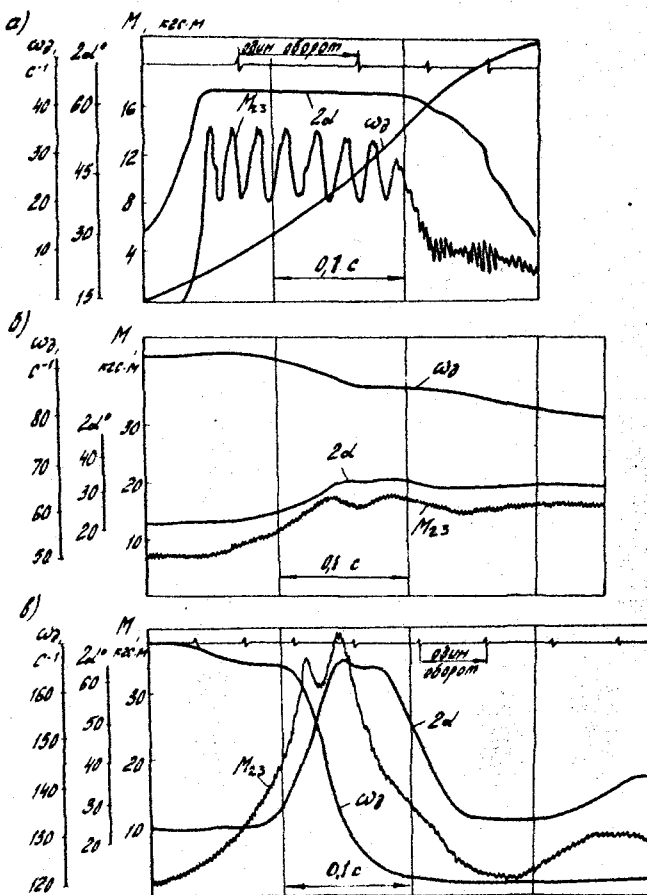
- в режимах импульсного нагружения или наброса нагрузки скорость деформации муфты составляет соответственно $\Delta\dot{\alpha}=10 \pm 15 \text{ c}^{-1}$ и $\Delta\dot{\alpha}=4 \pm 4 \text{ c}^{-1}$, что приводит к увеличению энергоемкости на



Фиг.4. Частотная диаграмма при работе на внешней характеристике



Фиг.5. Коэффициент передачи
 $1-\omega=50\text{c}^{-1}; 2-\omega=100\text{c}^{-1}; 3-\omega=150\text{c}^{-1}$



Фиг. 6. Осциллограммы динамики переходного процесса крутильной системы стенда с ДЦС: а-при запуске; б-набросе нагрузки; в-импульсном нагружении,
 $(\gamma_1=0,1 \text{ м}, \gamma_2=0,135 \text{ м}, Zm=0,032 \text{ кгс}\cdot\text{м}^{-1}\cdot\text{с}^2, l_1=l_2=0,068 \text{ м})$

10 \pm 20% и до 5% по сравнению с энергоемкостью в статическом режиме;

- разгон системы с ДЦС характеризуется деформацией упругих ограничителей и возникновением на участке тензометра динамического момента с периодом колебаний $T=0,03\pm0,05$ с и максимальным значением $M_{23}=14\pm16$ кгс \cdot м. В серии выполненных экспериментов коэффициент динамичности не превышал значения 1,8;

- в переходном процессе наброса нагрузки колебания упругого динамического момента M_{23} имеют низкочастотный характер ($T=0,08\pm0,12$ с), определяемый упругими свойствами муфты, с коэффициентом динамичности 1,05 \pm 1,25;

- демпфирование в шарнирах центробежных связей ограничивает число циклов нагружения в переходных процессах до двух-четырех с максимальным значением амплитуды упругого динамического момента в первый полупериод колебаний,

В заключительной части главы дана оценка погрешности измерений и сравнение результатов экспериментальных и теоретических исследований. Экспериментальные данные подтверждают правильность теоретических выводов. Расчеты показали, что наибольшие отклонения исследуемых параметров от расчетных составляют 8 \pm 10%.

В И В О Д И

В работе представлены результаты аналитических и экспериментальных исследований влияния упругой соединительной муфты с двухходовыми центробежными связями на динамику машинного агрегата в неустановившихся режимах работы. Конструктивные разработки, аналитические и экспериментальные исследования выполнены с учетом специфических особенностей эксплуатации реальных силовых установок.

Выполненные исследования позволяют сформулировать следующие выводы:

1. Неустановившиеся режимы работы машинных агрегатов характеризуются воздействием на систему апериодических значительных по величине внешних сил, вызывающих упругие пере-

мещения с частотой свободных колебаний (переходный процесс) и периодических мозмущающих сил, амплитуды и частоты которых изменяются в зависимости от оборотов и нагрузки, что приводит к появлению резонансных зон в диапазоне рабочих оборотов.

2. Соединительные устройства с инерционной природой формирования упругости (муфты с двухпроводковыми центробежными связями), сочетающие высокую крутильную податливость, нелинейные демпфирующие и упругие свойства, являются эффективным средством снижения динамических нагрузок в переходных процессах и обеспечения следящей антирезонансной настройки.

3. Для обобщенной кинематической схемы муфты с ДЦС выведены аналитические выражения упругой характеристики, момента трения и на основании исследования свободных и вынужденных колебаний установлено:

- в заданном диапазоне изменения оборотов и нагрузок область значений частот свободных колебаний системы с ДЦС соответствующей формы, располагается между соседними лучами "сильных" гармоник двигателя, что обеспечивает отстройку системы от опасных резонансов /-ой формы колебаний;

- резонанс одноузловой формы колебаний с опасными ("сильными") гармониками оказывается смещенным в зону низких, нерабочих оборотов;

- резонанс двухузловой и более высоких форм колебаний в системе с ДЦС не представляет опасности вследствие высоких фильтрующих и демпфирующих свойств муфты;

- при передаче постоянного момента муфта может обеспечить линейную зависимость частот одно- и двухузловой форм колебаний от угловой скорости вращения системы, т.е. частотную настройку, в определенном диапазоне ее изменения;

- виброизолирующие свойства муфты с ДЦС зависят от скоростного и нагрузочного режимов работы причем величина коэффициента передачи периодической составляющей для опасных гармоник в рабочем диапазоне оборотов и нагрузок остается достаточно низкой (не более 0,3);

- изменение величины момента трения в муфте с ДЦС в зависимости от угловой скорости при различной степени нагрузки обнаруживает важное свойство саморегулирования ее демпфиру-

ющих качеств в соответствии с изменением параметров периодических возмущающих сил.

4. Получены аналитические зависимости для выбора рациональных параметров упругих ограничителей и разработаны оригинальные конструкции, а также исследовано влияние жесткости упругого элемента ограничителя на изменение частотных свойств при запуске и показана возможность значительного сужения опасных областей резонансных оборотов при прохождении через резонанс или мгновенного прохождения резонанса с "сильными" гармониками в момент выхода связей на режим.

5. Рассмотрены особенности формирования дополнительных нагрузок при запуске системы с ДЦС в условиях несоосности и предложены практические рекомендации для их снижения.

6. Разработаны основы линеаризованной теории, позволяющей с достаточной для инженерной практики точностью оценить влияние муфты с ДЦС на динамику переходного процесса для различных видов возмущающих апериодических воздействий.

7. Для оценки реакции нелинейной двухмассовой крутильной системы с ДЦС на импульсное нагружение предложен способ построения фазовых траекторий, с использованием графоаналитического δ -метода.

8. Предложена методика расчета динамики переходного процесса трогания и нагружения крутильной системы машинного агрегата с учетом нелинейных свойств ДЦС и характеристик приводного двигателя.

9. Результаты экспериментальных исследований подтверждают основные положения разработанной теории динамики машинного агрегата с ДЦС в неустановившихся режимах работы и их влияния на снижение общего уровня динамической нагруженности.

СОДЕРЖАНИЕ ДИССЕРТАЦИИ ОТРАЖЕНО
в СЛЕДУЮЩИХ РАБОТАХ АВТОРА:

1. Сравнительная оценка различных типов центроежных соединительных муфт (в соавторстве). Сб. трудов ЧИИ, 1969, №74.

2. Исследование динамики силовой установки с центробежной упругой муфтой в условиях ударного нагружения (в со-

авторстве). Сб. трудов ЧИИ, 1971, №99.

3. Исследование переходного процесса в силовой установке с центробежной муфтой (в соавторстве). "Проблемы машиностроения", Сб. научн. трудов АН СССР, ЧИИ, Челябинск, 1973, №123.

4. Исследование процесса запуска машинного агрегата с центробежной муфтой. (в соавторстве). Сб. трудов ЧИИ, 1973, №129.

5. Влияние жесткости упругого ограничителя центробежной муфты на динамику силовой установки (в соавторстве). Труды 1V Всесоюзной н/т конференции по вариаторам и передачам гибкой связью. Одесса, 1972.

6. Исследование частоты свободных колебаний центробежной муфты с упругими ограничителями (в соавторстве). "Инерционно-импульсные механизмы, привода и устройства". Труды 1V Всесоюзной н/т конференции, Челябинск, 1974, №134.

7. Снижение динамических нагрузок в компрессорных установках с помощью центробежных связей (в соавторстве). Труды 1V Всесоюзной н/т конференции по компрессоростроению, Сумы, 1974.

8. Соединительная муфта с упруго-динамическими связями (в соавторстве). Авторское свидетельство СССР №427180. Бюллетень №17, 1974.

9. Упруго-центробежная муфта (в соавторстве). Авторское свидетельство СССР №462946. Бюллетень №9, 1975.

10. Демпфер крутильных колебаний (в соавторстве). Авторское свидетельство СССР №416488. Бюллетень №7, 1974.